

01;07

Динамика двойного обращения волновых фронтов в фоторефрактивных кристаллах

© Ф.Н. Никифоров, И.В. Мурашко, И.А. Водоватов,
В.Ю. Петрунькин, Е.В. Мокрушина

С.-Петербургский государственный технический университет
Физико-технический институт им. А.Ф. Иоффе РАН, С.-Петербург

Поступило в Редакцию 20 сентября 1999 г.

Получены усредненные уравнения, описывающие процесс установления обращенных волн в случае сложных световых полей в схеме двойного обращающего зеркала. Для оптической схемы на основе кристалла $\text{Ві}_2\text{ТіО}_{20}$ получено качественное соответствие экспериментальных и теоретических временных зависимостей.

Исследование четырехволнового взаимодействия света в фоторефрактивных материалах представляет интерес в связи с созданием оптических устройств, подобных нейронным сетям для целей распознавания образов, обработки информации и других задач (см. [1]). В настоящей работе теоретически рассматривается динамика двойного некогерентного обращения сложных волновых фронтов (см. [2–4]) при различных начальных условиях.

Мы исходим из того, что в фоторефрактивном кристалле рассеянное поле (за вычетом обращенной волны) имеет случайный характер. Этим обстоятельством можно воспользоваться для вывода простоты уравнений, достаточно точно описывающих интересующие нас явления.

Сформулируем задачу следующим образом: на фоторефрактивную среду справа и слева (рис. 1, *a*) падают две волны \mathbf{E}_1 и \mathbf{E}_2 . Поле в среде представим в виде разложения (рис. 1, *b*)

$$\begin{aligned}\mathbf{E}_1 &= \mathbf{E}_{1p} + \mathbf{E}_{1c} + \mathbf{E}_{1f}, \\ \mathbf{E}_2 &= \mathbf{E}_{2p} + \mathbf{E}_{2c} + \mathbf{E}_{2f},\end{aligned}\tag{1}$$

где \mathbf{E}_{1p} — прямая волна, падающая слева; \mathbf{E}_{1c} — волна, обращенная по отношению к \mathbf{E}_2 ; \mathbf{E}_{1f} — волна, рассеянная на случайных неоднородностях показателя преломления кристалла (фенинг). Волна \mathbf{E}_2 ,

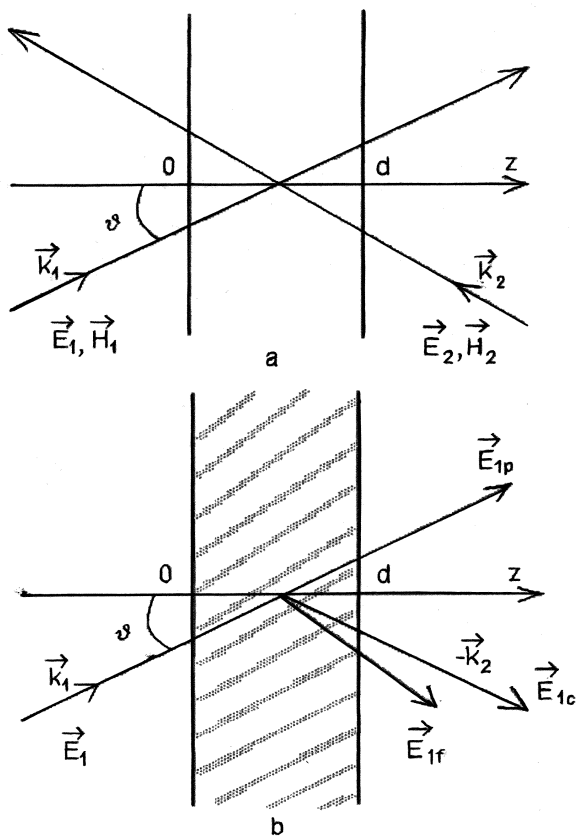


Рис. 1.

распространяющаяся с другой стороны кристалла, разлагается на такие же компоненты. Волны \mathbf{E}_1 и \mathbf{E}_2 некогерентны, и их взаимодействие со средой можно рассматривать независимо.

Примем

$$\mathbf{E}_{1p} = A_p^{(1)}(z, t) \mathbf{e}_1(\mathbf{r}) \exp(-i(\mathbf{k}_1 \mathbf{r})), \quad (2)$$

где $\mathbf{e}_1(\mathbf{r})$ — распределение поля невозмущенной падающей волны, $A_p^{(1)}(z, t)$ — медленно меняющаяся амплитуда волны накачки.

$$\mathbf{E}_{1c} = A_c^{(1)}(z, t) \mathbf{e}_2^*(\mathbf{r}) \exp(-i(\mathbf{k}_2 \mathbf{r})), \quad (3)$$

где $\mathbf{e}_2(\mathbf{r})$ — распределение поля невозмущенной волны, падающей справа; $A_c^{(1)}(z, t)$ — медленно меняющаяся амплитуда обращенной волны.

$$\mathbf{E}_{1f} = A_f^{(1)}(z, t) \mathbf{f}_f^{(1)}(\mathbf{r}, t) \exp(-i(\mathbf{k}_2 \mathbf{r})), \quad (4)$$

где $\mathbf{f}_f^{(1)}(\mathbf{r}, t)$ — распределение случайного рассеянного поля, $A_f^{(1)}(z, t)$ — медленно меняющаяся амплитуда фенинга. Аналогичные выражения описывают волну \mathbf{E}_2 , падающую справа.

Выполняются условия нормировки:

$$\int_S (\mathbf{e}_1 \mathbf{e}_1^*) ds = 1; \quad \int_S (\mathbf{e}_2 \mathbf{e}_2^*) ds = 1, \quad (5)$$

где интегрирование ведется по произвольному сечению кристалла $z = \text{const}$.

$$\left\langle \int_S (\mathbf{f}_f^{(1)} \mathbf{f}_f^{(1)*}) ds \right\rangle = 1, \quad (6)$$

где $\langle \rangle$ означает усреднение по ансамблю реализаций.

Кроме того,

$$\langle \mathbf{f}_f^{(1)} \rangle = 0. \quad (7)$$

Поля рассматриваются как результат действия эквивалентного тока:

$$\mathbf{j}_{eq} = \mathbf{E}_1 i \Delta \epsilon \frac{\omega}{4\pi}, \quad (8)$$

где $\Delta \epsilon = \epsilon_m(\mathbf{r}, t) \exp(i(\boldsymbol{\kappa} \mathbf{r})) + \epsilon_m^*(\mathbf{r}, t) \exp(-i(\boldsymbol{\kappa} \mathbf{r}))$, ϵ_m — комплексная амплитуда решетки в кристалле. Выполняется условие

$$\mathbf{k}_1 + \mathbf{k}_2 + \boldsymbol{\kappa} = 0. \quad (9)$$

Постановка задачи предполагает возможность достаточно сложной структуры волн, описываемых функциями \mathbf{e}_1 , \mathbf{e}_2 , $\mathbf{f}_f^{(2)}$, $\mathbf{f}_f^{(2)}$. Задачей является получение уравнений, связывающих амплитуды $A_p^{(1)}$, $A_p^{(2)}$, $A_c^{(1)}$, $A_c^{(2)}$, $A_f^{(1)}$ и $A_f^{(2)}$. Подробный вывод уравнений будет опубликован

отдельно. Скажем только, что при выводе использовалась интегральная лемма Лоренца, подобно тому как это делается, например, при рассмотрении задачи о возбуждении волновода в [5] или при решении задачи о дифракции света на ультразвуке [6,7]. В результате получаются выражения, которые после усреднения с использованием (6) и (7) существенно упрощаются. Далее используются известные из [8] материальные уравнения для фоторефрактивной среды, которые также подвергаются усреднению по ансамблю реализаций. Для определенности предположим, что в рассматриваемой среде решетка показателя преломления сдвинута по фазе на $\pi/2$ относительно световой интерференционной картины, что, в частности, соответствует диффузионному механизму записи. Результатом всех этих действий является система уравнений, описывающих динамику двойного обращения фронтов в фоторефрактивных кристаллах:

$$\begin{aligned} \left(\frac{\partial}{\partial t} + \frac{1}{\tau}\right)(N^* + N_0^*) &= QB(A_p^{(1)}A_c^{(1)*} + A_p^{(2)}A_c^{(2)*}), \\ \left(\frac{\partial}{\partial t} + \frac{1}{\tau}\right)(N_f^{(1)} + N_{f0}^{(1)}) &= QC_1A_p^{(1)}A_f^{(1)*}, \\ \left(\frac{\partial}{\partial t} + \frac{1}{\tau}\right)(N_f^{(2)} + N_{f0}^{(2)}) &= QC_2A_p^{(2)}A_f^{(2)*}, \end{aligned} \quad (10)$$

$$\begin{aligned} \frac{\partial A_p^{(1)}}{\partial z} &= -D\{A_c^{(1)}N^* + A_f^{(1)}N_f^{(1)*}\}, \\ \frac{\partial A_c^{(1)}}{\partial z} &= DA_p^{(1)}N, \\ \frac{\partial A_f^{(1)}}{\partial z} &= DA_p^{(1)}N_f^{(1)*}, \end{aligned} \quad (11)$$

$$\begin{aligned} -\frac{\partial A_p^{(2)}}{\partial z} &= -D\{A_c^{(2)}N^* + A_f^{(2)}N_f^{(2)*}\}, \\ -\frac{\partial A_c^{(2)}}{\partial z} &= DA_p^{(2)}N, \\ -\frac{\partial A_f^{(2)}}{\partial z} &= DA_p^{(2)}N_f^{(2)*}, \end{aligned} \quad (12)$$

где τ — время релаксации диэлектрической проницаемости, $Q = \Gamma/(2I_0)$, причем Γ — константа нелинейной связи, а I_0 — полная интенсивность всех падающих пучков,

$$D = \frac{\omega}{c2 \cos \theta} \sqrt{\frac{\mu}{\epsilon}},$$

$$B = \int_S |\mathbf{e}_1|^2 |\mathbf{e}_2|^2 ds,$$

$$C_1 = \int_S |\mathbf{e}_1|^2 \langle |\mathbf{f}_f^{(1)}|^2 \rangle ds,$$

$$C_2 = \int_S |\mathbf{e}_2|^2 \langle |\mathbf{f}_f^{(2)}|^2 \rangle ds.$$

Входящие в уравнения величины N , N^* , $N_f^{(1)}$, $N_f^{(2)}$ характеризуют степень корреляции между полями и решеткой:

$$N = i \int_S \epsilon_m^* (\mathbf{e}_1 \mathbf{e}_2) ds,$$

$$N_f^{(1)} = -i \left\langle \int_S \epsilon_m (\mathbf{f}_f^{(1)} \mathbf{e}_1^*) ds \right\rangle,$$

$$N_f^{(2)} = -i \left\langle \int_S \epsilon_m (\mathbf{f}_f^{(2)} \mathbf{e}_2^*) ds \right\rangle. \quad (13)$$

Величины N_0 , $N_{f_0}^{(1)}$ и $N_{f_0}^{(2)}$ соответствуют начальным значениям решеток показателя преломления, обусловленных дефектами кристалла или примесями, отвечающими за решетки с длительными временами релаксации.

Полученные уравнения во многом похожи на приведенные в [9]. Отличие заключается в том, что в наши уравнения входят коэффициенты B , C_1 , C_2 , зависящие от структуры полей. Коэффициент B может быть рассчитан, так как \mathbf{e}_1 и \mathbf{e}_2 заданы. Что касается C_1 и C_2 , то в них входят распределения $f_f^{(1)}$ и $f_f^{(2)}$, которые неизвестны. Оценить их величину

можно, сделав предположения о характере распределения фенинга. В ряде случаев их можно считать постоянными величинами.

Описанный здесь подход к решению задач, связанный с фоторефракцией, может быть применен и в более сложных случаях, например при рассмотрении генераторных схем: схемы полупериодного генератора или генератора на основе резонатора с двумя обращающимися зеркалами (описания этих схем см., например, в [10]), а также других задач).

Начальные и граничные условия имеют следующий вид:

$$\begin{aligned}
 N(t=0) &= N_f^{(1)}(t=0) = N_f^{(2)}(t=0) = 0; \\
 A_p^{(1)}(z=0, t) &= A_{p0}^{(1)}, \quad A_p^{(2)}(z=d, t) = A_{p0}^{(2)}; \\
 A_c^{(1)}(z=0, t) &= A_c^{(2)}(z=d, t) = 0; \\
 A_f^{(1)}(z=0, t) &= A_f^{(2)}(z=d, t) = 0.
 \end{aligned} \tag{14}$$

Уравнения (10) решались численно модифицированным методом Эйлера, а (11) и (12) решались методом Милна, в результате получены кривые, свидетельствующие о разнообразии переходных характеристик в зависимости от значений параметров. На рис. 2 приведены примеры переходных характеристик, в которых менялся только один параметр — величина начальной затравки для решетки обращенной волны N_0 . Кривые представлены в условных единицах, выбранных таким образом, чтобы входящие в уравнения коэффициенты были порядка единицы. Время на расчетных графиках выражено в единицах τ . Кроме обращенной волны (кривые A_1 и B_1 на рис. 2, *b*) на графике также представлено развитие фенинга (кривые C и D соответственно).

Физические эксперименты проводились по стандартной оптической схеме двойного обращающего зеркала, описанной, например, в [10]. Два пучка накачки от двух независимых гелий-неоновых лазеров Л1 и Л2 ($\lambda = 0.63 \mu\text{m}$), направленных встречно под углом $\theta = 4^\circ$, пересекались в кристалле $\text{Вi}_{12}\text{ТiO}_{20}$ (ВТО) с размерами $10 \times 4 \times 9 \text{ mm}$, соответствующими кристаллографическим осям [112], [111] и [110] с полированными гранями $\langle 110 \rangle$. Один из пучков имел гауссову форму, а другой при необходимости пропускался через рассеиватель (матовую пластинку), рассеянное излучение фокусировалось объективом на грани кристалла. Мощность пучков не превышала 3 и 6 mW. К образцу в

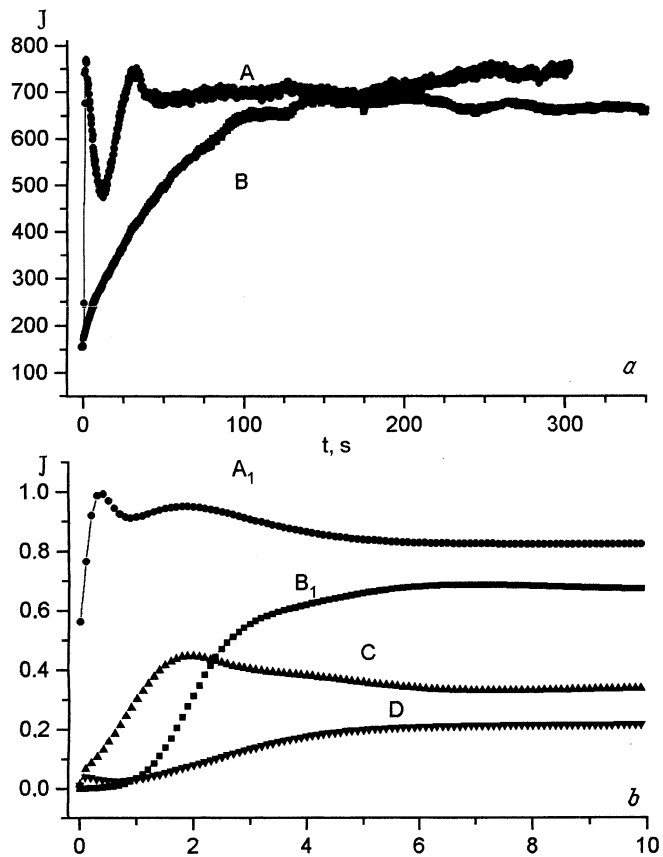


Рис. 2.

направлении [111] прикладывалось переменное электрическое поле в форме меандра с напряженностью 5 kV/cm и частотой около 50 Hz.

На рис. 2 показана динамика установления обращенной волны при двух разных значениях затравки N_0 . В эксперименте (рис. 2, а) после предварительного получения стационарного обращения оба пучка перекрывались и записанные решетки какое-то время релаксировали в темноте. При $t = 0$ оба пучка вновь открывались. Для кривых A и B времена

релаксации равнялись соответственно 5 и 11 min. Зависимости A_1 и B_1 на рис. 2, b рассчитаны из уравнений (10)–(12) при значениях $N_0 = 0.5$ и 0.01 соответственно. Как видно, предложенная теоретическая модель качественно описывает особенности развития обращенной волны. Так, для случая большой затравки N_0 (кривые A , A_1) рост обращенной волны носит существенно немонотонный характер. Фактически мы имеем дело с затухающим колебательным процессом. В случае малых затравок (кривые B , B_1) колебательный характер переходного процесса пропадает, время построения обращенной волны увеличивается и стационарная амплитуда обращенной волны оказывается несколько меньшей. Таким образом, величина начальной затравки для обращенной волны N_0 влияет не только на динамику построения обращенной волны, как это указывалось ранее в [9], но и на стационарный режим. Такое поведение указанных кривых объясняется конкуренцией обращенной волны и фенинга. Если записанная структура релаксировала недолго (N_0 велико), то фенинг растет медленнее и подавляется обращенной волной в начальной стадии своего развития (кривая C рис. 2, b). При малом N_0 истощение фенинга наступает позже (кривая его развития имеет максимум) и он стабилизируется на более высоком уровне (кривая D рис. 2, b). Этим можно объяснить зависимость стационарных состояний обращенной волны от уровня затравок.

В заключение можно отметить, что получены усредненные уравнения, описывающие процесс установления обращенных волн в случае сложных световых полей в схеме двойного обращающего зеркала. Получено качественное соответствие экспериментальных и теоретических временных зависимостей в случае определенного набора параметров. Возможно применение данного подхода для более сложных оптических схем, лежащих в основе систем распознавания образов.

Список литературы

- [1] Psaltis D., Brady D., Wagner K. // Appl. Opt. 1988. V. 27 (9). P. 1752–1759.
- [2] Horowitz M., Kligler D., Fischer B. // J. of the Opt. Society of America B. 1991. V. 8 (10).
- [3] Byron He Q., Yeh Pochi, Gu Claire, Neurgaonkar R.R. // J. of the Opt. Society of America B. 1992. V. 9 (1).
- [4] Петров М.П., Колфилд Х.Д., Мокрушина Е.В. // Квантовая электроника. 1992. Т. 19. № 3.

- [5] *Вайнштейн П.А.* Электромагнитные волны. М.: Радио и связь, 1988.
- [6] *Водоватов И.А., Петрунькин В.Ю.* // Изв. вузов. Радиофизика. 1983. Т. XXVI. № 12. С. 1570–1588.
- [7] *Водоватов И.А., Плисс Н.С., Попова Л.Н., Пучкова А.И.* // Изв. вузов. 1994. V. 37. С. 1939.
- [8] *Петров М.П., Степанов С.И., Хоменко А.В.* Фоторефрактивные кристаллы в когерентной оптике. СПб.: Наука, 1992.
- [9] *Зозуля А.А.* // Квантовая электроника. 1992. Т. 19. № 8.
- [10] *Fischer B., Sternklar S., Weiss S.* // IEEE Journal of Quantum Electronics. 1989. V. 25. N 3.